

# KATALYTICKÝ ROZKLAD OXIDU DUSNÉHO

LUCIE OBALOVÁ<sup>a</sup> a BOHUMIL BERNAUER<sup>b</sup>

<sup>a</sup>Katedra fyzikální chemie a teorie technologických procesů,  
Vysoká škola báňská – Technická univerzita, tř. 17. listopadu 15, 708 33 Ostrava, <sup>b</sup>Ústav anorganické technologie,  
Vysoká škola chemicko-technologická v Praze, Technická 5,  
166 28 Praha 6

e-mail: Lucie.Obalova@vsb.cz, Bohumil.Bernauer@vscht.cz

Došlo 11.4.02, přepracováno 1.10.02, přijato 29.11.03.

---

Klíčová slova: oxid dusný, katalytický rozklad, mechanismus, kinetika, inhibice

---

## Obsah

1. Úvod
2. Termodynamické podmínky rozkladné reakce
3. Katalyzátory rozkladné reakce N<sub>2</sub>O
  - 3.1. Katalyzátory na bázi kovů
  - 3.2. Katalyzátory na bázi oxidů
  - 3.3. Katalyzátory na bázi směsných oxidů
  - 3.4. Katalyzátory na bázi kalcinovaných sloučenin typu hydrotalcitu
  - 3.5. Katalyzátory na bázi zeolitů
4. Závěr

## 1. Úvod

Oxid dusný patří mezi látky přispívající ke skleníkovému efektu a jeho vzrůstající koncentrace v atmosféře je považována za jednu z příčin poškození ozónové vrstvy. Mezi významné zdroje oxidu dusného patří některé chemické výroby a spalovací procesy. N<sub>2</sub>O vzniká rovněž při provozu automobilových motorů s třícestními katalyzátory<sup>1–3</sup>. Shrnutí současného stavu problematiky emisí oxidu dusného spolu s přehledem technologií vyvíjených pro jejich snižování byl již věnován přehledný článek v tomto časopise<sup>4</sup>.

Je zřejmé, že nejjednodušším postupem likvidace oxidu dusného je jeho rozklad na kyslík a dusík v přítomnosti vhodného katalyzátoru. Výhodou navrhované metody je, že produktem reakce jsou přirozené složky ovzduší a lze ji aplikovat na stávající technologie. V porovnání s ostatními možnostmi, např. likvidací N<sub>2</sub>O termickým rozkladem<sup>5</sup>, lze katalytický rozklad N<sub>2</sub>O realizovat za nižších teplot, což snižuje energetické, a tedy i finanční nároky celého řešení. Ten-to postup proto v poslední době oprávněně vyvolává pozornost.

## 2. Termodynamické podmínky rozkladné reakce

Rozklad oxidu dusného podle rovnice (1) je vzhledem k hodnotě standardní Gibbsovy energie ΔG<sub>f</sub><sup>o</sup> (298 K) = -103 kJ·mol<sup>-1</sup> reakcí termodynamicky schůdnou<sup>6</sup>.



Při rozpadu molekuly oxidu dusného dochází k rozštěpení slabší vazby N–O (rád vazby N–O je 1,6), zatímco silnější vazba N–N zůstává zachována (rád vazby N–N je 2,7, cit.<sup>7</sup>).

Rovnovážné konstanty K<sub>p</sub> reakce (1) vypočtené z reakční isotermy<sup>8</sup> pro různé teploty jsou uvedeny v tabulce:

T, K	298	400	600	800	1000	1200
K <sub>p</sub>	1,787·10 <sup>18</sup>	3,933·10 <sup>14</sup>	1,116·10 <sup>11</sup>	1,843·10 <sup>9</sup>	1,526·10 <sup>8</sup>	2,827·10 <sup>7</sup>

Rovnovážná konverze N<sub>2</sub>O se v uvedeném rozsahu teplot 298–1200 K blíží 1.

Experimentálně však bylo zjištěno<sup>9</sup>, že reakce v homogenní fázi prakticky neprobíhá a k měřitelné konverzi N<sub>2</sub>O dochází až při teplotách nad 1170 K. Důvodem této kineticé stability je fakt, že disproporcionace N<sub>2</sub>O na N<sub>2</sub> a O<sub>2</sub> je reakcí spinově zakázanou, čemuž odpovídá<sup>10</sup> i vysoká aktivační energie štěpení vazby N–O (250–270 kJ·mol<sup>-1</sup>).

Realizaci rozkladu N<sub>2</sub>O i za technicky zajímavých teplot lze docílit použitím vhodného katalytického systému.

## 3. Katalyzátory rozkladné reakce N<sub>2</sub>O

Katalytický rozklad oxidu dusného byl rozsáhle studován v přítomnosti katalyzátorů různého typu; šlo jak o samotné a nanesené kovy, tak o oxidy, směsné oxidy a zeolity. Přehled zkoumaných katalyzátorů zpracoval např. Kapteijn<sup>7</sup>.

Cílem velké části starších prací bylo objasnění mechanismu reakce. Teprve studie z posledních let jsou zaměřeny na praktické aplikace. Aktivita katalyzátorů je nejčastěji sledována při počáteční koncentraci N<sub>2</sub>O odpovídající reálným koncentracím v odpadních plynech např. z výroby kyseliny dusičné a ze spalovacích procesů (300–1000 ppm), případně z výroby kyseliny adipové (25–30 mol. %). Snahou je vyvinout aktivní a stabilní katalyzátor, jehož katalytické vlastnosti nebudou negativně ovlivněny dalšími složkami běžně se vyskytujícími v odpadních plynech, především kyslíkem, vodní párou a dalšími (NO<sub>x</sub>, SO<sub>2</sub>, CO<sub>2</sub>).

### 3.1. Katalyzátory na bázi kovů

Rozklad N<sub>2</sub>O byl sledován na platině<sup>11</sup>, zlatu<sup>12</sup>, rhodiu<sup>13</sup> a mědi<sup>14</sup> s cílem navrhnut kinetickou rovnici reakce a posou-

dit inhibiční vliv kyslíku. Mechanismus rozkladné reakce  $\text{N}_2\text{O}$  na Rh při 220 °C byl studován pomocí isotopu  $^{18}\text{O}$  a pomocí teplotně programované desorpce. Je navrhován Langmuirův-Hinshelwoodův mechanismus tvořený kroky:



kde  $*$  označuje aktivní místo na povrchu katalyzátoru.

Disociační adsorpce  $\text{N}_2\text{O}$  – krok (2) – vzniká molekula dusíku a kyslík adsorbovaný na povrchu katalyzátoru; ten je po rekombinaci s dalším povrchově vázaným kyslíkem desorbován podle rovnice (3).

Rozklad  $\text{N}_2\text{O}$  byl také sledován na kovech Pd (cit.<sup>15,16</sup>), Ru (cit.<sup>17–19</sup>), Pt (cit.<sup>20</sup>), Cu (cit.<sup>21–23</sup>), Rh (cit.<sup>24–29</sup>) nanesených na různých nosičích ( $\text{Al}_2\text{O}_3$ ,  $\text{ZnO}$ ,  $\text{ZrO}_2$ ,  $\text{CeO}_2$ ). Velmi aktivním katalyzátorem je Rh/ $\text{ZnO}$  (cit.<sup>29</sup>), v přítomnosti  $\text{H}_2\text{O}$  a  $\text{NO}_2$  však dochází k poklesu reakční rychlosti. Teplota potřebná pro dosažení 100% konverze  $\text{N}_2\text{O}$  při zatížení  $m_{\text{kat}}/V_{\text{celk}}$  = 1,25 g.min.l<sup>-1</sup> se zvýšila o 160 °C v přítomnosti  $\text{O}_2$ ,  $\text{H}_2\text{O}$  a  $\text{NO}_2$ . Aktivním katalyzátorem je Ru na alumině, a to i v přítomnosti vodní páry<sup>17</sup>.

### 3.2. Katalyzátory na bázi oxidů

Rozklad  $\text{N}_2\text{O}$  byl sledován různými autory na řadě oxidů, nejrozšířejší jsou starší práce Wintera<sup>30,31</sup> a Golodetse<sup>32</sup>. Katalytická aktivita byla pozorována u oxidů přechodných kovů VIII. skupiny (Co, Fe, Ni) a dále na oxidech kovů Rh, Ir, Cu a La. Rozklad je až na výjimky (Ca, Sr, La, Ce, Zn, Hf, Mg) inhibován kyslíkem obsaženým v reakční směsi, resp. kyslíkem uvolňovaným v průběhu rozkladné reakce. Novější práce se zabývají rozkladem  $\text{N}_2\text{O}$  na oxidech Co (cit.<sup>33</sup>), Fe (cit.<sup>34</sup>), Mn (cit.<sup>35</sup>), Mg (cit.<sup>36,37</sup>), Ca (cit.<sup>38</sup>), Zr (cit.<sup>39</sup>) a dále na  $\text{Rh}_2\text{O}_3$  (cit.<sup>40</sup>),  $\text{RuO}_2$  (cit.<sup>41</sup>),  $\text{CuO}$  (cit.<sup>42</sup>),  $\text{BaO}$  (cit.<sup>43</sup>),  $\text{CoO}$  (cit.<sup>44</sup>) nanesených na různých nosičích.

Reakční mechanismus rozkladu  $\text{N}_2\text{O}$  na oxidech je podle Wintera<sup>31</sup> tvořen kroky (4), (5), (3) a (6):



kde kroky (4) a (3) jsou vratné. Za předpokladu ustáleného stavu a konstantního počtu aktivních míst na povrchu katalyzátoru byla odvozena rychlostní rovnice:

$$r = \frac{k_5 K_4 N_T \cdot p_{\text{N}_2\text{O}}}{1 + K_4 \cdot p_{\text{N}_2\text{O}} + \sqrt{p_{\text{O}_2}} / \sqrt{K_3}} \quad (7)$$

kde  $N_T$  je koncentrace aktivních míst na povrchu katalyzátoru,  $p_{\text{N}_2\text{O}}$  označuje parciální tlak oxidu dusného,  $p_{\text{O}_2}$  označuje parciální tlak kyslíku.

Adsorpce oxidu dusného a kyslíku může způsobovat inhibici reakce. Bylo zjištěno, že adsorbované množství  $\text{N}_2\text{O}$  bývá malé. Kroky (4), (5) lze pak vyjádřit rovnicí (2), což vede k výrazu pro reakční rychlosť  $r$ :

$$r = \frac{k_2 N_T \cdot p_{\text{N}_2\text{O}}}{1 + \sqrt{p_{\text{O}_2}} / \sqrt{K_3}} \quad (8)$$

Pokud reakce není inhibována kyslíkem, přechází rovnice (8) do tvaru:

$$r = k_2 N_T \cdot p_{\text{N}_2\text{O}} \quad (9)$$

Tento případ nastává např. při rozkladu  $\text{N}_2\text{O}$  na katalyzátoru  $\text{ZrO}_2$  (cit.<sup>39</sup>):

Inhibice kyslíkem může být způsobena adsorpcí celé molekuly kyslíku na aktivní centrum podle rovnice (10), v tomto případě je desorpce kyslíku krokem určujícím celkovou rychlosť reakce:



nebo nevratnou disociační chemisorpcí molekuly  $\text{O}_2$  na aktivní centra (zpětná reakce (3)):



### 3.3. Katalyzátory na bázi směsích oxidů

Z této skupiny katalyzátorů byly pro rozklad  $\text{N}_2\text{O}$  testovány spinely, perovskity, tuhé roztoky kovů a oxidy obohacené malým množstvím kovu.

Vhodnými katalyzátory pro praktické aplikace se jevily spinely<sup>45</sup>  $\text{MAl}_2\text{O}_4$  ( $\text{M} = \text{Cu}, \text{Mg}, \text{Zn}$ ),  $\text{Co}_3\text{O}_4$  (cit.<sup>34</sup>) a perovskity<sup>46</sup>  $\text{La}_{1-x}\text{Sr}_x\text{B}'\text{B}''_{1-y}\text{O}_3$ , ( $\text{B}', \text{B}'' = \text{Mn}, \text{Co}, \text{Fe}$ ). Bylo zjištěno, že tyto katalyzátory jsou stabilní a odolné vůči katalytickým jedálům.

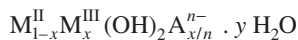
Na perovskitech typu  $\text{ABO}_3$  ( $\text{A} = \text{La}, \text{Ba}, \text{Sr}, \text{Ca}, \text{B} = \text{Ti}, \text{Mn}$ ) navrhli Tejuca a spol.<sup>47</sup> stejný reakční mechanismus jako v případě katalyzátorů na bázi oxidů tvořený reakčními kroky (4), (5), (3). Inhibice rozkladu  $\text{N}_2\text{O}$  kyslíkem byla různá. Autoři předpokládali, že do rozkladné reakce  $\text{N}_2\text{O}$  je zapojen i kyslík vázaný v mřížce perovskitu. Podle Songa a spol.<sup>48</sup> je aktivní místo na povrchu katalyzátoru tvořené sousedními atomy kov-O-kov. Bylo zjištěno, že na aktivitu má vliv oxidační stav iontu přechodného kovu a jeho koordinace. Oktaedricky koordinovaný  $\text{Co}^{2+}$  v  $\text{MgAl}_2\text{O}_4$  je aktivnější než tetraedricky koordinovaný  $\text{Co}^{2+}$ . Deformace struktury u oktaedru vede k dvěma delšími vazbám Co–O, kde jsou slabší vazebné síly mezi kyslíkem a kobaltem<sup>49</sup>. Cimino a Indovina<sup>50</sup> se zabývali vztahem mezi oxidačním stavem iontu přechodného kovu a jeho katalytickou aktivitou: katalytická aktivita iontů  $\text{Mn}^{3+}$  dispergovaných v matrici  $\text{MgO}$  je mnohem vyšší než iontů  $\text{Mn}^{2+}$  a  $\text{Mn}^{4+}$ .

Studie<sup>51</sup> pevných roztoků iontů přechodných kovů Cu, Fe, Co, Cr, Mn a Ni v oxidech ( $\text{Al}_2\text{O}_3$ ,  $\text{MgO}$ ) ukázaly detailnější obrázek aktivních center tvořených kationty přechodných kovů. Bylo pozorováno, že při velmi nízkých koncentracích, když lze ionty přechodného kovu považovat za izolované, byla katalytická aktivita iontů velmi vysoká. Se vzrůstající koncentrací aktivita iontů klesala. Ve zředěných tuhých roztocích iontů přechodných kovů byl inhibiční efekt kyslíku mnohem menší<sup>52</sup>, protože izolované ionty jsou neschopné chemisorpce  $\text{O}_2$  podle rovnice (11).

Studie z posledních let se zabývají rozkladem  $\text{N}_2\text{O}$  na iontech přechodných kovů Ni (cit.<sup>53</sup>), Cu (cit.<sup>54</sup>), Co (cit.<sup>18,55</sup>) v  $\text{MgO}$  a na systémech typu  $(\text{CaO})_{1-x}(\text{MO})_x$ , kde M = Ti, Cr (cit.<sup>56</sup>).

#### 3.4. Katalyzátory na bázi kalcinovaných sloučenin typu hydrotalcitu

Katalyzátory připravené termickým rozkladem (kalcinací) sloučenin typu hydrotalcitu lze na základě jejich struktury zařadit mezi směsné oxidy kovů. Prekurzory těchto katalyzátorů – sloučeniny typu hydrotalcitu, mají obecné chemické složení:



kde  $\text{M}^{\text{II}}$  značí dvojmocný kationt např.  $\text{Mg}^{2+}$ ,  $\text{Zn}^{2+}$ ,  $\text{Co}^{2+}$ ,  $\text{Cu}^{2+}$ ,  $\text{Ni}^{2+}$ ,  $\text{Mn}^{2+}$ ,  $\text{M}^{\text{III}}$  značí trojmocný kationt např.  $\text{Al}^{3+}$ ,  $\text{Cr}^{3+}$ ,  $\text{Fe}^{3+}$ ,  $\text{A}^{n-}$  je  $n$ -mocný aniont např.  $\text{CO}_3^{2-}$ ,  $\text{Cl}^-$ ,  $\text{NO}_3^-$ ,  $\text{SO}_4^{2-}$ ,  $\text{CrO}_4^{2-}$ ,  $\text{V}_{10}\text{O}_{28}^{6-}$ .

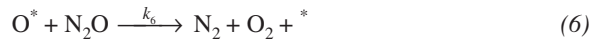
Pro rozklad oxidu dusného byly použity uhličitanové formy s aniontem  $\text{CO}_3^{2-}$ , jež bývají značeny  $\text{M}^{\text{II}}-\text{M}^{\text{III}}-\text{HT}$ .

Při tepelném rozkladu hydrotalcitu se uvolní strukturně vázaná voda a oxid uhličity a vznikne převážně amorfni směs oxidů kationtů  $\text{M}^{\text{II}}$  a  $\text{M}^{\text{III}}$ . Tako obdržené katalyzátory mají dobře definovaný obsah a rovnoměrnou distribuci aktivních složek, poměrně velký specifický povrch a jsou tepelně stálé.

Rozkladem  $\text{N}_2\text{O}$  na kalcinovaných hydrotalcitech s různými kombinacemi a poměry dvojmocných a trojmocných kovů ( $\text{M}^{\text{II}} = \text{Mg, Co, Ni, Cu, Zn}$  a  $\text{M}^{\text{III}} = \text{Al, Fe, Cr}$ ) se ve své práci zabýval Kannan<sup>57</sup>. Zjištěnou vysokou katalytickou aktivitu vysvětlil nestechiometrií a velkou disperzí vzniklých směsných oxidů kovů. Armor a spol.<sup>58</sup> studovali rozklad  $\text{N}_2\text{O}$  v simulovaném procesním plynu na kalcinovaných hydrotalcitech  $\text{M}^{\text{II}}-\text{Al}-\text{HT}$ , kde  $\text{M}^{\text{II}} = \text{Co, Ni, Cu, Co/Pd, Co/Rh}$  a  $\text{Co-Mg}$ . Bylo zjištěno, že přítomnost vodní páry a kyslíku neovlivňuje významně konverzi na katalyzátoru připraveném kalcinací  $\text{Co/Rh-Al-HT}$  a  $\text{Co-Mg-Al-HT}$  (100% konverze  $\text{N}_2\text{O}$  v přítomnosti vodní páry a  $\text{O}_2$  při  $450^\circ\text{C}$ , počáteční koncentrace 985 ppm  $\text{N}_2\text{O}$ , prostorová rychlosť  $30\,000\text{ h}^{-1}$ ).

Rovněž kalcinovaný hydrotalcit  $\text{Zn-Al, Rh-HT}$  je katalyzátor vhodný pro rozklad  $\text{N}_2\text{O}$  při nízkých teplotách ( $400^\circ\text{C}$ ); jeho aktivita zůstala zachována i v přítomnosti  $\text{NO}_2$ ,  $\text{O}_2$  a vodní páry<sup>59</sup>.

Kinetická data rozkladu  $\text{N}_2\text{O}$  na kalcinovaných sloučeninách typu hydrotalcitu byla vyhodnocena Kannanem<sup>57</sup> s použitím rychlostní rovnice 1. řádu vzhledem k  $p_{\text{N}_2\text{O}}$  bez inhibičního vlivu kyslíku – rovnice (9), čemuž odpovídá reakční mechanismus navrhovaný Dandlem a Emigem<sup>60</sup>, sestávající z reakcí (2), (3) a reakce (6):



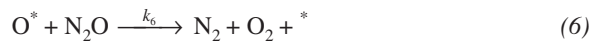
Reakce (3) je však v tomto případě nevratná, což vede k tomu, že reakční rychlosť není inhibována kyslíkem. Složitější reakční mechanismus rozkladu  $\text{N}_2\text{O}$  byl navržen Románem-Martínezem a spol.<sup>61</sup> Předpokládá účast kyslíku z mřížky katalyzátoru v reakci. Podle autorů dochází k migraci adsorbovaných kyslíkových atomů a migraci kyslíkových atomů z mřížky katalyzátoru. Adsorbované kyslíkové atomy se spojují s kyslíkovými atomy z mřížky za vzniku molekulárního kyslíku podle rovnice (3).

Pérez-Ramírez a spol.<sup>62</sup> prováděli rozklad  $\text{N}_2\text{O}$  na kalcinovaných hydrotalcitech v přítomnosti  $\text{O}_2$  a  $\text{SO}_2$  s cílem simuloval odpadní plyny ze spalovacích procesů ve fluidním loži. Bylo zjištěno, že přítomnost Mg v katalyzátoru má stabilizující roli a odstraňuje irreverzibilní otravu katalyzátoru při nízkých teplotách (90% konverze  $\text{N}_2\text{O}$  na Co, Mg-Al, Rh-HT při  $320^\circ\text{C}$ , počáteční koncentrace 1000 ppm  $\text{N}_2\text{O}$  v He, zatížení  $m_{\text{kat}}/n_{\text{N}_2\text{O}}^0 = 224\text{ g.mol}^{-1}$ ).

#### 3.5. Katalyzátory na bázi zeolitů

Zeolity s vyměněnými ionty přechodných kovů (Fe, Co, Cu, Rh) v různých matricích (ZSM-5, ZSM-11, mordenit, USY, ferrierit) jsou aktivními katalyzátory<sup>63–68</sup> rozkladu  $\text{N}_2\text{O}$ . Přehled starších studií je uveden např. v práci Kaptejna a spol.<sup>7</sup> Nejlepší výsledky (100% konverze  $\text{N}_2\text{O}$  při  $320^\circ\text{C}$ , zatížení  $m_{\text{kat}}/V_{\text{celk}} = 2,5\text{ g.min.l}^{-1}$ , počáteční koncentrace 500 ppm  $\text{N}_2\text{O}$  v He) byly dosaženy na katalyzátorech<sup>69</sup> Ru/ZSM-5, Ru-Na/ZSM-5 a Ru-NaUSY, v přítomnosti kyslíku však došlo k poklesu reakční rychlosti. Li a Armor<sup>66</sup> publikovali jako nejaktivnější zeolity Rh/ZSM-5 a Cu/ZSM-5. Aktivita katalyzátoru je určena kombinací kationtu kovu a typu zeolitu. Aktivitu kationtu kovu lze odhadnout na základě katalytické aktivity oxidu daného kovu.

Na zeolitickém katalyzátoru Fe-ZSM-5 byl navržen<sup>65</sup> mechanismus zahrnující reakce (2) a (6):



Kinetika reakce se řídí kinetickou rovnicí 1. řádu vzhledem k  $p_{\text{N}_2\text{O}}$ :

$$r = \frac{2k_2k_6N_T}{k_2 + k_6} p_{\text{N}_2\text{O}} \quad (12)$$

Na zeolitech Fe-Y a Fe-Mor je předpokládáno zapojení kyslíku z mřížky katalyzátoru při reakci. Dochází k rychlé výměně kyslíku mezi  $\text{N}_2\text{O}$  a katalyzátorem, kterou lze popsat rovnicí (3).

Inhibice reakce kyslíkem byla u jednotlivých zeolitických katalyzátorů různá. Na katalyzátorech Rh-ZSM-5 a Cu-ZSM-5 byl rozklad inhibován kyslíkem pouze do určité koncentrace kyslíku<sup>68</sup> a tato inhibice byla způsobena<sup>70</sup> nevratnou disociační chemisorpcí molekuly O<sub>2</sub> na aktivní centra podle reakce (11). Rozklad N<sub>2</sub>O v přítomnosti ZSM-5 s vyměněnými ionty kovů Pd, Fe a Co nebyl inhibován kyslíkem vůbec<sup>66</sup>. Katalytická aktivita katalyzátorů na bázi zeolitů byla až na výjimky negativně ovlivněna přítomností vodní páry, což omezuje jejich praktické použití<sup>63</sup>. Na některých zeolitech byly pozorovány oscilace reakční rychlosti<sup>71,72</sup>.

#### 4. Závěr

Nalezení vhodného katalytického systému pro rozklad oxidu dusného představuje nyní hlavní krok k využití rozkladu jako nejjednoduššího postupu likvidace emisí oxidu dusného v odpadních plynech. Výzkum je zaměřen na vývoj katalyzátorů aktivních za nízkých teplot, jež budou odolné vůči inhibici kyslíkem a vodní párou. Z tohoto hlediska se jeví nadějnými katalyzátory připravené kalcinací sloučenin typu hydrotalcitu, jež snadno desorbují kyslík a jejichž aktivita není na rozdíl od zeolitů negativně ovlivněna vodní párou.

*Tato práce vznikla za podpory Ministerstva školství, mládeže a tělovýchovy České republiky, číslo projektu CEZ 273 60 0002 a Grantové agentury České republiky, číslo projektu GA 106/02/0523.*

#### LITERATURA

- Soete G. G.: Rev. Inst. Fr. Petr. 48, 413 (1993).
- Noskov A. S., Abdulin I. R.: Chem. Sustain. Develop. 1, 351 (1993).
- Badr O., Probert S. D.: Appl. Energy 42, 129 (1992).
- Bernauer B., Markvart M., Obalová L., Fott P.: Chem. Listy 95, 392 (2001).
- Reimer R. A., Slaten C. S., Seapan M., Koch T. A., Tomlinson P. E.: *Proceedings of 6th International Workshop on Nitrous Oxide Emissions* (Hupa M., Matinlinna J., ed.), Turku, Finland 1995, str. 521.
- Barin I., Knacke O.: *Thermochemical Properties of Inorganic Substances*. Verlag, Düsseldorf 1973.
- Kapteijn F., Rodriguez-Mirasol J., Moulijn J. A.: Appl. Catal., B 9, 25 (1996).
- Obalová L.: *Teze dizertační práce*. VŠB-TU, Ostrava 2000.
- Klikorka K., Hájek J., Votinský J.: *Obecná a anorganická chemie*. SNTL/ALFA, Praha 1985.
- Greenwood N. N., Earnshaw A.: *Chemie prvků I, II*. Informatorium, Praha 1993.
- Takoudis C. G., Schmidt L. D.: J. Catal. 80, 274 (1983).
- Kalback W. M., Sliepečník C. M.: Ind. Eng. Chem. Fundam. 17, 165 (1978).
- Uetsuka H., Aoyagi K., Tanaka S., Yuzaki K., Ito S., Kameoka S., Kunimori K.: Catal. Lett. 66, 87 (2000).
- Wolohan P., Welsh W., Friedman R. M., Ebner J. R.: ACS Symp. Ser. 721 (Transition State Modeling for Catalysis), 259 (1999); Chem. Abstr. 130, 317112 (1999).
- Basinska A., Machej T., Matachowski L., Schroeder G., Domka F.: Arch. Ocgr. Srodowiska 25, 91 (1999).
- Wu B., Wang S., Zhuang Y.: Spectrosc. Lett. 30, 1165 (1997).
- Wang X., Zeng H. C.: Appl. Catal., B 17, 89 (1998).
- Zeng H. C., Qian M., Pang X. Y.: Stud. Surf. Sci. Catal. 116, 485 (1998).
- Pinna F., Scarpa M., Strukul G., Guglielminotti E., Bocuzzi F., Manzoli M.: J. Catal. 192, 158 (2000).
- Malfoy P., Granger P., Lamonier J. F., Leclercq L.: Phys. Chem. 41, 109 (1997).
- Dandekar A., Vannice M. A.: Appl. Catal., B 22, 179 (1999).
- Morterra C., Giannello E., Cerrato G., Centi G., Perathoner S.: J. Catal. 179, 111 (1998).
- Ma J., Rodriguez N. M., Vannice M. A., Baker R. T. K.: Top. Catal. 10, 27 (2000).
- Koichi Y., Takayoshi Y., Shin-ich I., Kimio K.: Catal. Lett. 47, 173 (1997).
- Centi G., Galli A., Montanari B., Perathoner S., Vaccari A.: Catal. Today 35, 113 (1997).
- Imamura S., Jindai H., Koyama Y., Ohgoshi S. (Nikon Fine Gas K. K.): JP 2000 317307; Chem. Abstr. 133, 366775 (2000).
- Centi G., Dall'Olio L., Perathoner S.: J. Catal. 192, 224 (2000).
- Oi J., Junko A., Ogata A., Bamwenda G. R., Yagita H., Kushiyama S., Koichi M.: Appl. Catal., B 12, 277 (1997).
- Oi J., Tanaka R., Obuchi A., Ogata A., Bamwenda G. R., Kushiyama S.: Phys. Chem. 41, 119 (1997).
- Winter E. R. S.: J. Catal. 19, 32 (1970).
- Winter E. R. S.: J. Catal. 34, 431 (1974).
- Golodets G. I.: Stud. Surf. Sci. Catal. 15, 200 (1983).
- Guo L., Wu B., Zhuang Y., Li Q., Zhu H.: Huanjing Kexue Xuebao 18(5), 457 (1998); Chem. Abstr. 129, 249518 (1998).
- Goto T., Niimi A., Hirano K., Takahata N., Fujita S., Shimokawabe M., Takeyawa N.: React. Kinet. Catal. Lett. 69, 375 (2000).
- d.Soete G. G.: Rev. Inst. Fr. Petr. 48, 413 (1993).
- Žemva P., Lesar A., Senegačník M., Kobal I.: Phys. Chem. Chem. Phys. 2, 3319 (2000).
- Lu X., Xu X., Wang N., Zhang Q.: J. Phys. Chem. B 103, 3373 (1999).
- Satsuma A., Akahori R., Kato M., Komai S., Yoshida H., Hattori T.: J. Mol. Catal. A: Chem. 155, 81 (2000).
- Miller T. M., Grassian V. H.: Catal. Lett. 46, 213 (1997).
- Dann T. W., Schulz K. H., Mann M., Collings M.: Appl. Catal., B 6, 1 (1995).
- Li K., Wang X. F., Zeng H. C.: Chem. Eng. Res. Des. 75, 807 (1997).
- Tagawa K., Miura K., Kodama S., Shimizu A., Tanaka K. (Asahi Kasei Kogyo Kabushiki Kaisha): PCT Int. Appl. WO 99 25461; Chem. Abstr. 130, 342219 (1999).
- Xie S., Lunsford J.: Appl. Catal., A 188, 137 (1999).
- Drago R. S., Jurczyk K., Kob N.: Appl. Catal., B 13, 69 (1997).
- Baier M., Fetzer T., Hofstadt O., Hesse M., Burger G., Harth K., Schumacher V., Wistuba H., Otto B. (BASF A.-G.): PCT Int. Appl. WO 2000 023176; Chem. Abstr. 132, 297873 (2000).
- Burgkhardt W., Froehlich F., Seifert F. (Inocermic Gesell-

- schaft für Innovative Keramik m.b.H.): DE 19700490; Chem. Abstr. 129, 126432 (1998).
47. Tejucá G. L., Fierro J. L. G., Tascón J. M. D.: *Adv. Catal.* 36, 237 (1989).
  48. Song C., Shen M., Wang J., Qin Y.: *Rashao Kexue Yu Jishu* 5, 186 (1999); *Chem. Abstr.* 131, 290394 (1999).
  49. Angeletti C., Pepe F., Porta P.: *J. Chem. Soc., Faraday Trans. 1* 74, 1595 (1978).
  50. Cimino A., Indovina V.: *J. Catal.* 17, 54 (1970).
  51. Egerton T. A., Stone F. S., Vickerman J. C.: *J. Catal.* 33, 299 (1974).
  52. Cimino A., Bosco R., Indovina V., Schiavello M.: *J. Catal.* 5, 271 (1966).
  53. Izumi Y., Shimizu T., Kobayashi T., Aika K.: *Chem. Commun.* 2000, 1053.
  54. Sato S., Takahashi R., Sodewawa T., Yuma K., Obata Y.: *J. Catal.* 196, 195 (2000).
  55. Qian M., Zeng H. C.: *J. Mater. Chem.* 7, 493 (1997).
  56. Loukatzikou L. A., Sdoukos A. T., Pomonis P.: *J. Mater. Chem.* 7, 1587 (1997).
  57. Kannan S.: *Appl. Clay Sci.* 13, 347 (1998).
  58. Armor J. N., Braymer T. A., Farris T. S., Li Y., Petrocelli F. P., Weist E. L., Kannan S., Swamy C. S.: *Appl. Catal., B* 7, 397 (1996).
  59. Oi J., Obuchi A., Ogata A., Bamwenda G. R., Tanaka R., Hibino T., Kushiyama S.: *Appl. Catal., B* 13, 197 (1997).
  60. Dandl H., Emig G.: *Appl. Catal., A* 168, 261 (1998).
  61. Román-Martínez M. C., Kapteijn F., Overeijnder J., Moulijn J. A.: *Proceedings of 4th International Conference on Greenhouse Gas Control Technologies* (Riemer P., Eliasson B., Wokaun A., ed.), str. 343. Elsevier, Amsterdam 1999.
  62. Pérez-Ramírez J., Mul G., Xu X., Kapteijn F., Moulijn J. A.: *Stud. Surf. Sci. Catal.* 130, 1445 (2000).
  63. Kapteijn F., Marban G., Rodriguez-Mirasol J., Moulijn J. A.: *J. Catal.* 167, 256 (1997).
  64. Rauscher M., Kesore K., Monning R., Schwieger W., Tissler A., Turek T.: *Appl. Catal., A* 184, 249 (1999).
  65. Fu C. M., Korchak V. N., Hall W. K.: *J. Catal.* 68, 166 (1981).
  66. Li Y., Armor J. N.: *Appl. Catal., B* 1, L21 (1992).
  67. Chen L., Chen H. Y., Lin J., Tan K. L.: *Surf. Interface Anal.* 28, 115 (1999).
  68. Shimokawabe M., Hirano K., Takezawa N.: *Catal. Today* 45, 117 (1998).
  69. Chang Y.-F., McCarty J. G., Wachsman E. D., Wong V. L.: *Appl. Catal., B* 4, 283 (1994).
  70. Kapteijn F., Rodriguez-Mirasol J., Moulijn J. A., Mul G., Marban G.: *Proceedings of 11th Congress on Catalysis* (Hightower J. W., Delgass W. N., ed.), str. 641. Elsevier, Amsterdam 1996.
  71. El-Malki E. M., van Saten R. A., Sachtler W. M. H.: *Microporous Mater.* 35–36, 235 (2000).
  72. Ochs T., Turek T.: *Chem. Eng. Sci.* 54, 4513 (1999).

**L. Obalová<sup>a</sup> and B. Bernauer<sup>b</sup>** (<sup>a</sup>*Department of Physical Chemistry and Theory of Technological Processes, Technical University of Ostrava, Ostrava, b*<sup>b</sup>*Department of Inorganic Chemistry, Institute of Chemical Technology, Prague*): **Catalytic Decomposition of Dinitrogen Oxide**

The article summarizes the current state of research in the development of catalysts for dinitrogen oxide decomposition. The catalysts are assessed from the viewpoint of practical utilization for decomposition of nitrous oxide emissions in waste gases. Attention is focused on the activity of the investigated catalysts and their sensitivity to inhibition by oxygen, water vapour and other components of waste gases. The proposed mechanisms of the decomposition are discussed.

Zavedená farmaceutická firma hledá pro své  
pracoviště v Praze do výzkumného oddělení

### *organického chemika*

Náplň práce: syntéza nových léčiv, vývoj  
syntetických metod a vývoj procesů.  
Dobrá znalost angličtiny podmínkou.

Žádosti s profesním životopisem zašlete na  
Interpharma Praha, a.s., Komoranská 955, 143 10 Praha 12,  
fax 241 773 235, e-mail: [interpharma@interpharma-praha.cz](mailto:interpharma@interpharma-praha.cz),  
[www.interpharma-praha.com](http://www.interpharma-praha.com).